

# RAZVOJ METODA ZA ANALIZU HALOGENIH ELEMENATA U ČVRSTIM UZORCIMA U ATMOSFERI KISEONIKA

**Predavanje, master studije**

**dr Ljubiša Ignjatović, vanr. prof.**

# Sadržaj izlaganja

## UVOD

Objekt i cilj istraživanja

## TEORIJSKI DEO

O uglju

Značaj analize sadržaja halogenih elemenata u uglju

## EKSPERIMENTALNI DEO

I Razvoj metode za određivanje halogenih elemenata u uglju, sagorevanjem u atmosferi kiseonika primenom frakcionisanog faktorijskog dizajna

II Optimizacija metode za određivanje halogenih elemenata u uglju primenom metodologije odgovora površine

III Analiza sadržaja halogenih elemenata u uzorcima uglja iz Kolubarskog basena i Kostolačkog basena

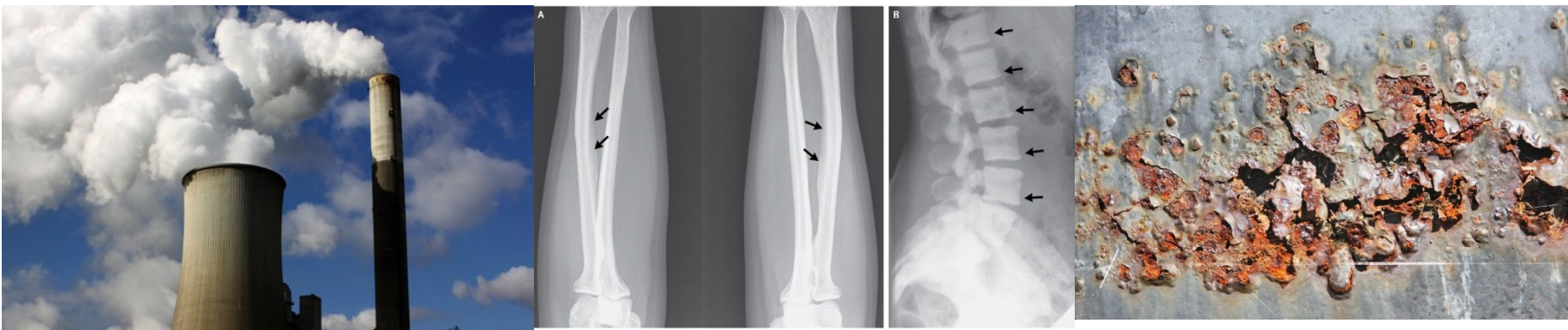
## ZAKLJUČAK

# UVOD

## Objekt ispitivanja

Halogeni elementi u uglju:

- uticaj na životnu sredinu
- uticaj na ljudsko zdravlje
- uticaj na tehničke karakteristike sistema  
(korozija, odsumporavanje uglja)



# Naučni cilj

Objekt istraživanja su halogeni elementi u uglju, pa su u vezi s tim koncipirani zadaci koji su doveli do ostvarivanja naučnog cilja:

- da se utvrdi metodologija određivanja koja čini spregu metode za pripremu uzorka uglja i instrumentalne tehnike za određivanje koncentracije anjona u vodenom rastvoru
- da se primenom statističkih metoda organizuju i izvedu eksperimenti, obrade i analiziraju dobijeni rezultati.
- Da se na osnovu rezultata preliminarnih istraživanja, najznačajniji parametri detaljnije ispitaju primenom metodologije odgovora površine.
- Da se izvrši validacija predložene metode za određivanje halogena sagorevanjem u kiseoničnoj bombi analizom internih referentnih uzoraka uglja i sertifikovanih referentnih ugljeva.
- Da se utvrde granica detekcije ( $LOD$ ) i granica kvantifikacije ( $LOQ$ ) određivanja halogena u uglju predloženom metodologijom.

# Aktuelhost teme

ScienceDirect Journals Books Shopping cart Sign in Help You have Guest access to ScienceDirect Find out more...

Search all fields Author name Journal or book title Volume Issue Page Advanced search

Search results: 3,743 results found for (halogen coal).

Save search alert RSS

Purchase Export Relevance All access types

Simultaneous determination of halogens (F, Cl, Br, and I) in coal using pyrohydrolysis combined with ion

Elsevier

Refine filters Year

2016 (11) 2015 (204) 2014 (139) 2013 (147) 2012 (158)

View more >

ScienceDirect Journals Books Shopping cart Sign in Help You have Guest access to ScienceDirect Find out more...

Search all fields Author name Journal or book title Volume Issue Page Advanced search

Search results: 3,348 results found for (fluorine coal).

Save search alert RSS

Purchase Export Relevance All access types

Chemical forms of the fluorine, chlorine, oxygen and carbon in coal fly ash and their correlations with mercury

Elsevier

Refine filters Publication title

Fuel and Energy Journal of Chro Fuel Geochimica et (

Year

2016 (1) 2015 (1) 2014 (1) 2013 (1) 2012 (1)

View m

ScienceDirect Journals Books Shopping cart Sign in Help You have Guest access to ScienceDirect Find out more...

Search all fields Author name Journal or book title Volume Issue Page Advanced search

Search results: 11,855 results found for (chlorine coal).

Save search alert RSS

Purchase Export Relevance All access types

Chemical forms of the fluorine, chlorine, oxygen and carbon in coal fly ash and their correlations with mercury retention Original Research Article *Journal of Hazardous Materials*, Volume 301, 15 January 2016, Pages 400-406 Shuang Deng, Yun Shu, Songgeng Li, Gang Tian, Jiayu Huang, Fan Zhang

Abstract Research highlights Purchase PDF - \$41.95

Determination of chlorine in coal via the SrCl molecule using high-resolution graphite furnace molecular absorption spectrometry and direct solid sample analysis Original Research Article *Spectrochimica Acta Part B: Atomic Spectroscopy*, Volume 114, 1 December 2016, Pages 46-50 Éderson R. Pereira, Lucas M. Rocha, Heloisa R. Cadorim, Vanessa D. Silva, Bernhard Welz, Eduardo Carasek, Jailson B. de Andrade

Abstract Research highlights Purchase PDF - \$35.95

Behavior of chlorine during co-carbonization of coal and chloride compounds in cokemaking process Original Research Article *International Journal of Coal Geology*, Volume 130, 15 August 2014, Pages 27-32 Seiji Nomura

Abstract Research highlights Purchase PDF - \$41.95

Elsevier

Refine filters Publication title Topic

Fuel and Energy Abstracts (2,514) Fuel (762) Fuel Processing Technology (364) Chemosphere (338) Journal of the Franklin Institute (322)

View more >

Topic

coal (1,256)

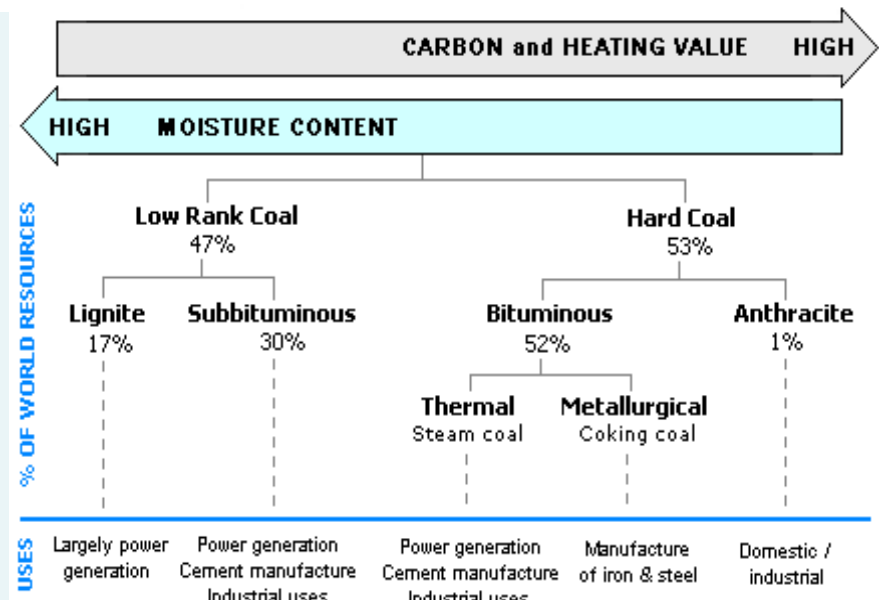
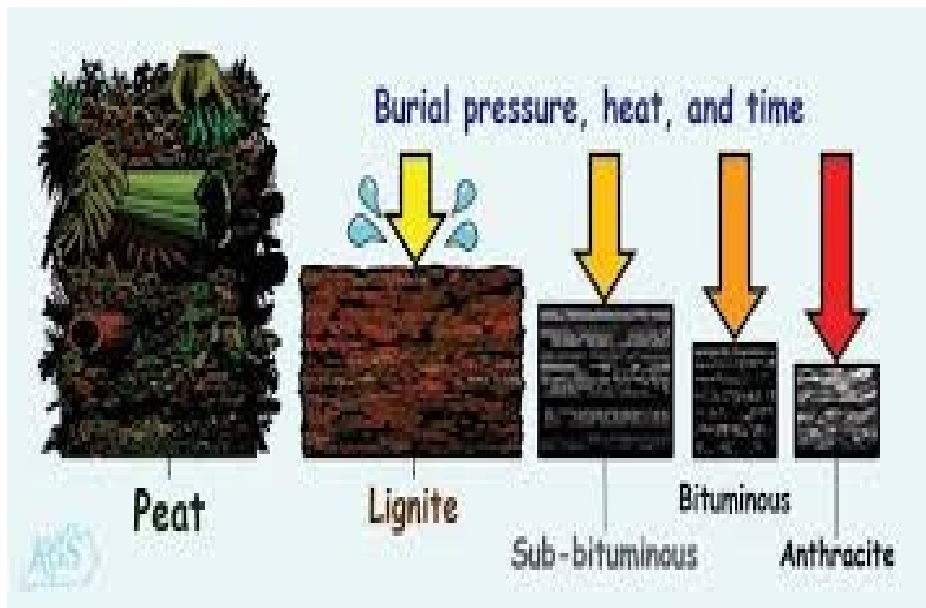
Elsevier WebShop Celebrate the publication of your paper... with personalized reprints of your article, journal issues, and posters

Feedback

# Teorijski deo

Ugalj:

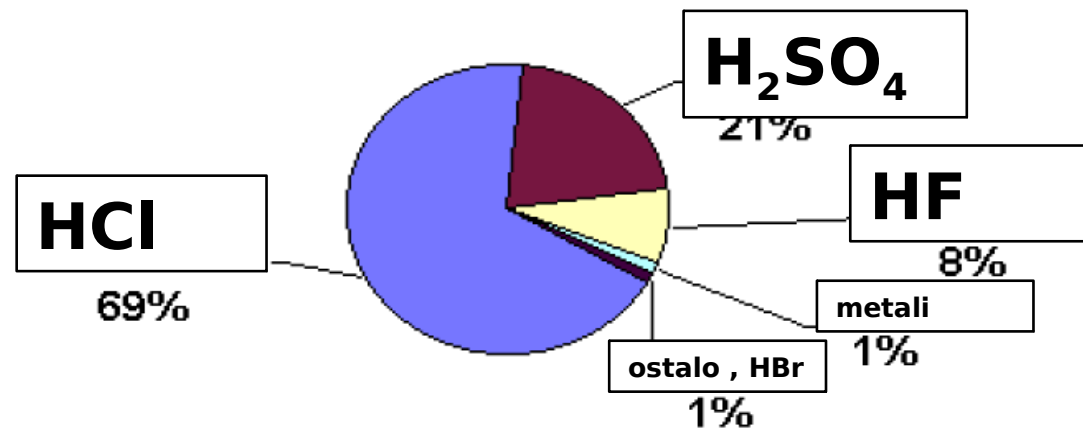
- Fosilno gorivo
- Svetske rezerve se procenjuju na 400 godina



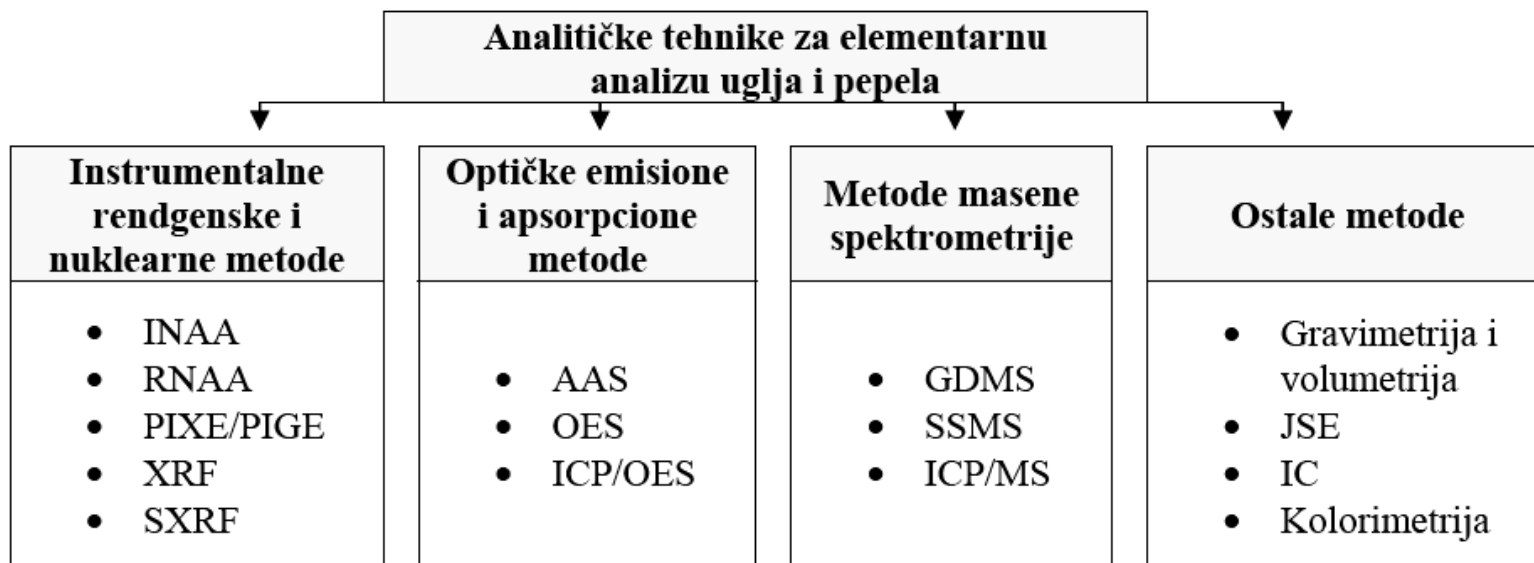
# Halogeni elementi u uglju

- U sastavu uglja učestvuju sa manje od 5 %
- Tokom sagorevanja uglja se uglavnom emituju u obliku HF, HCl, HBr
- HF i HCl (HAP - Hazardous Air Pollutants)

Koje toksične supstance emituju termoenergetska postrojenja?



# Pregled metoda za analizu halogenih elemenata u uglju



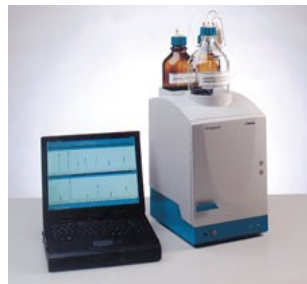
Hemejske metode za pripremu uzorka uglja:

- destilacija
- alkalno topljenje
- pirohidroliza
- sagorevanje u kiseoničnoj bombi

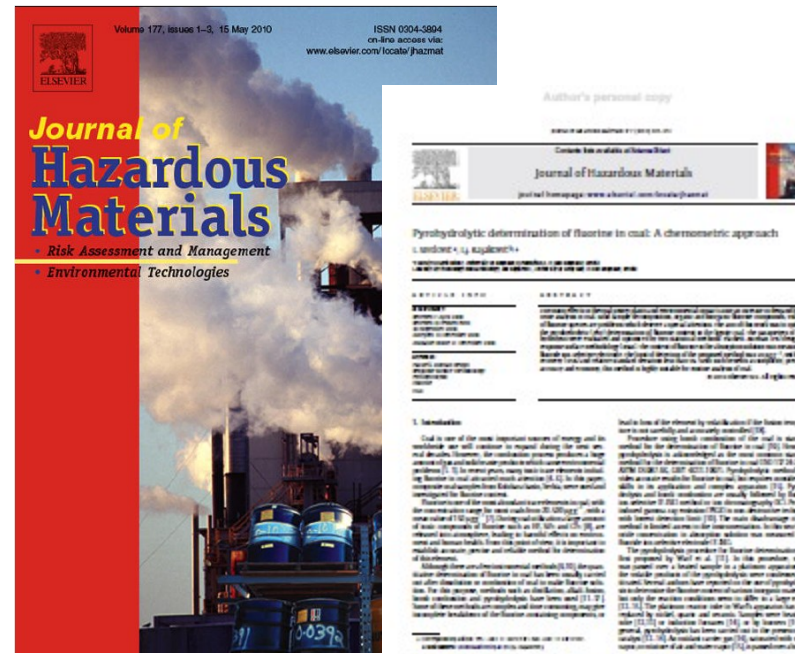
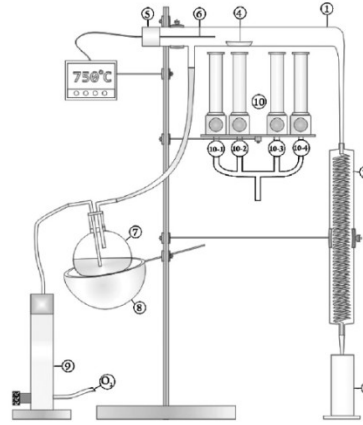
# Eksperimentalni deo

Određivanje halogena u uglju je sprega:

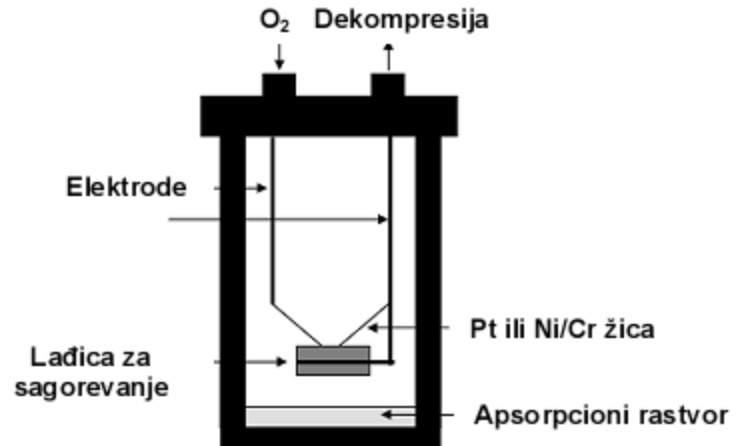
- adekvatnog izdvajanja ovih elemenata iz kompleksne čvrste matrice i prevođenja u vodenim rastvor:
  - pirohidroliza
  - sagorevanje u kiseoničnoj bombi, i
- merenja jonske koncentracije



## Pirohidroliza

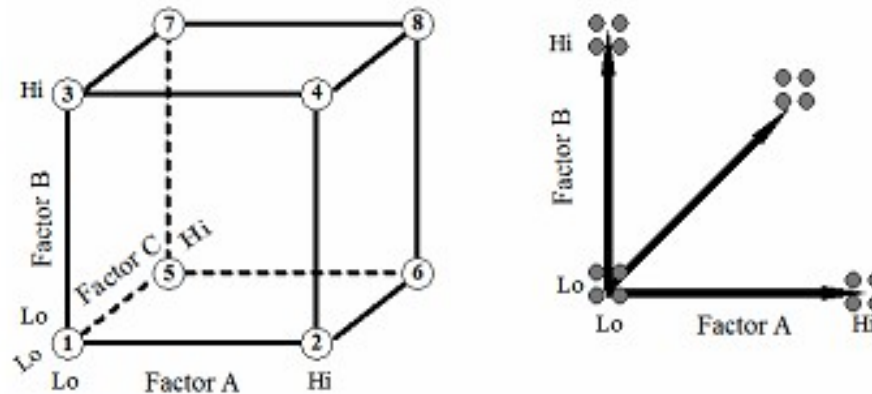


## Sagorevanje u kiseoničnoj bombi



# Eksperimentalni dizajn

Metodologija planiranja i izvođenja eksperimenata u cilju dobijanja što više informacija iz što manjeg broja eksperimenata



- Oblast u kojoj se ispituje uticaj jednog parametra treba da je što šira
- Omogućava da se selektuju najuticajniji parametri
- Kada se selektuju najvažniji parametri, oblast u kojoj se ispituje uticaj parametra se sužava i na kraju definišu optimumi

# Frakcionisani faktorijski dizajn

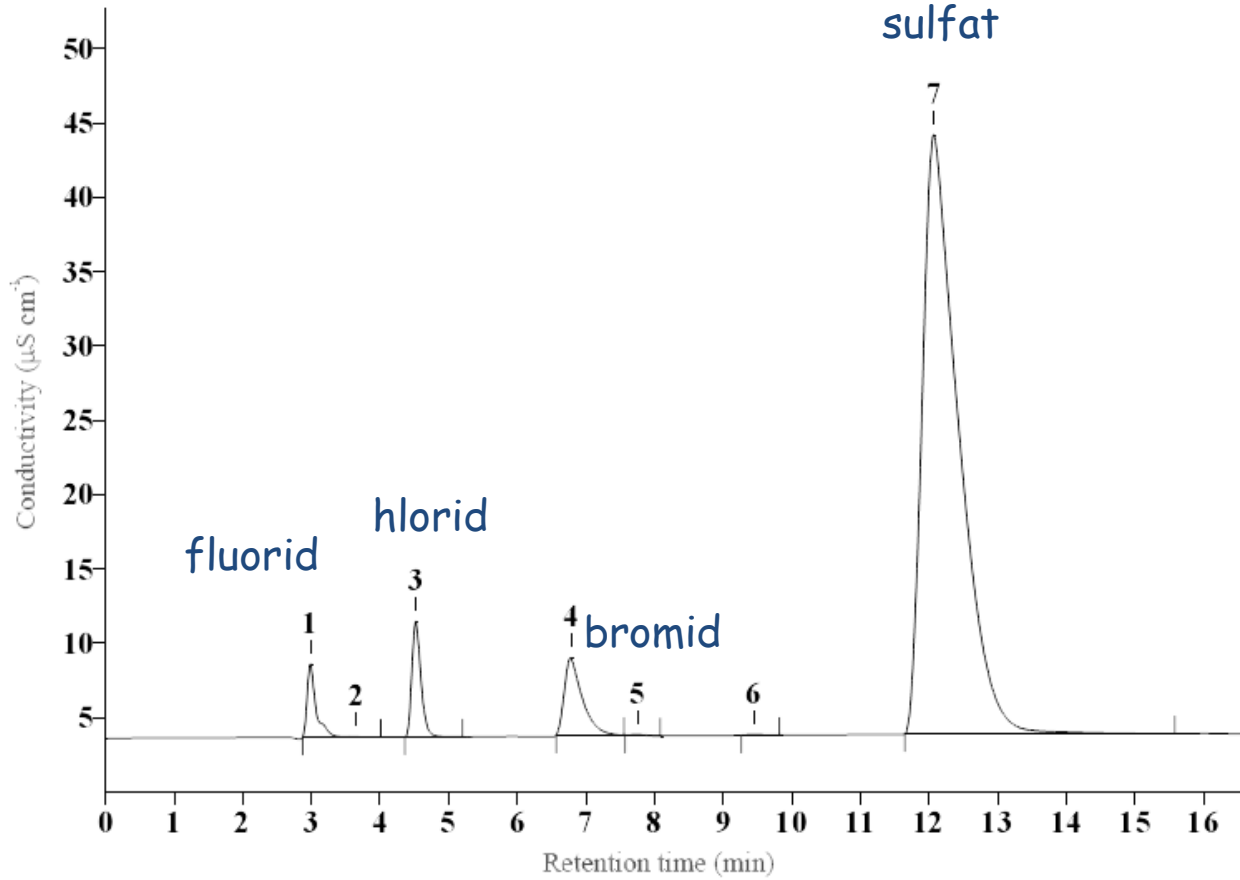
## Eksperimentalni faktori i njihovi nivoi

No.	Faktor	Nivo -1	Nivo +1
1	$p(O_2)$ , atm	15	25
2	$m(V_2O_5)/m(\text{coal})$	0	0,5
3	Apsorpcioni rastvor	$H_2O$	$NaOH, 1 \text{ mol/dm}^3$
4	$w(H_2O_2)$ , %	0	1
5	$t_{\text{hlađenja}}$ , min	5	25
6	Pomoćno gorivo, $\mu L$	0	100

Broj eksperimenata =  $2^{n-p}$

# Frakcionisani faktorijski dizajn, kodirane vrednosti

Eksp.	$p(O_2)$ , atm	$\frac{m(V_2O_5)}{m(coal)}$	Apsorpcioni rastvor	$w(H_2O_2)$ , %	$t_{hladenja}$ , min	Pomoćno gorivo, $\mu L$
P1	1	-1	-1	1	1	1
P2	1	1	-1	-1	-1	1
P3	1	1	1	-1	1	-1
P4	-1	-1	-1	-1	-1	-1
P5	-1	-1	-1	1	-1	1
P6	-1	-1	1	-1	1	1
P7	1	1	-1	1	-1	-1
P8	0	0	0	0	0	0
P9	-1	1	1	-1	-1	-1
P10	1	1	1	1	1	1
P11	-1	-1	1	1	1	-1
P12	-1	1	-1	-1	1	1
P13	-1	1	1	1	-1	1
P14	0	0	0	0	0	0
P15	-1	1	-1	1	1	-1
P16	1	-1	1	1	-1	-1
P17	1	-1	-1	-1	1	-1
P18	1	-1	1	-1	-1	1
P19	0	0	0	0	0	0

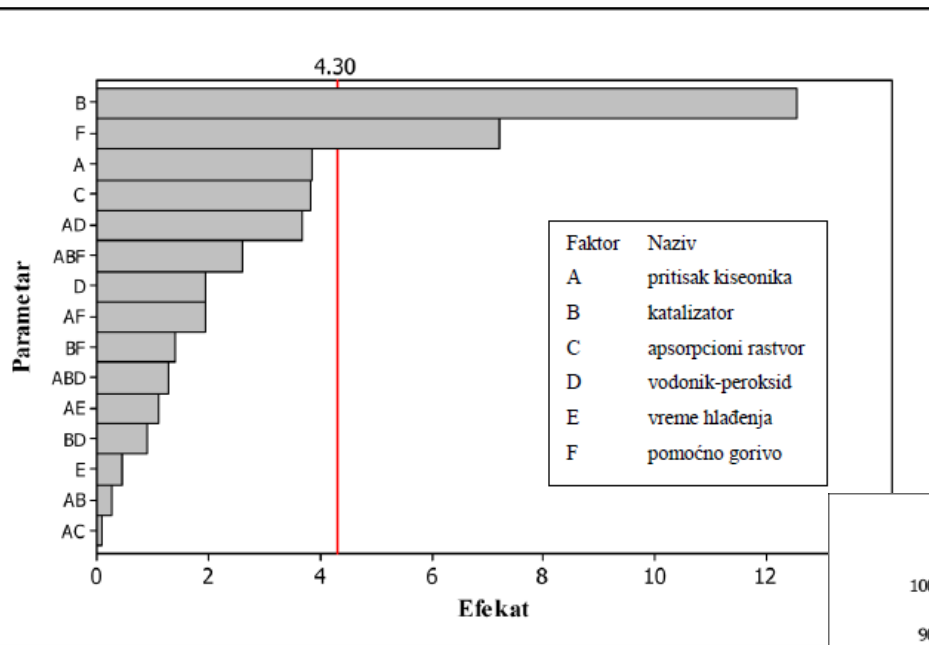


MINITAB



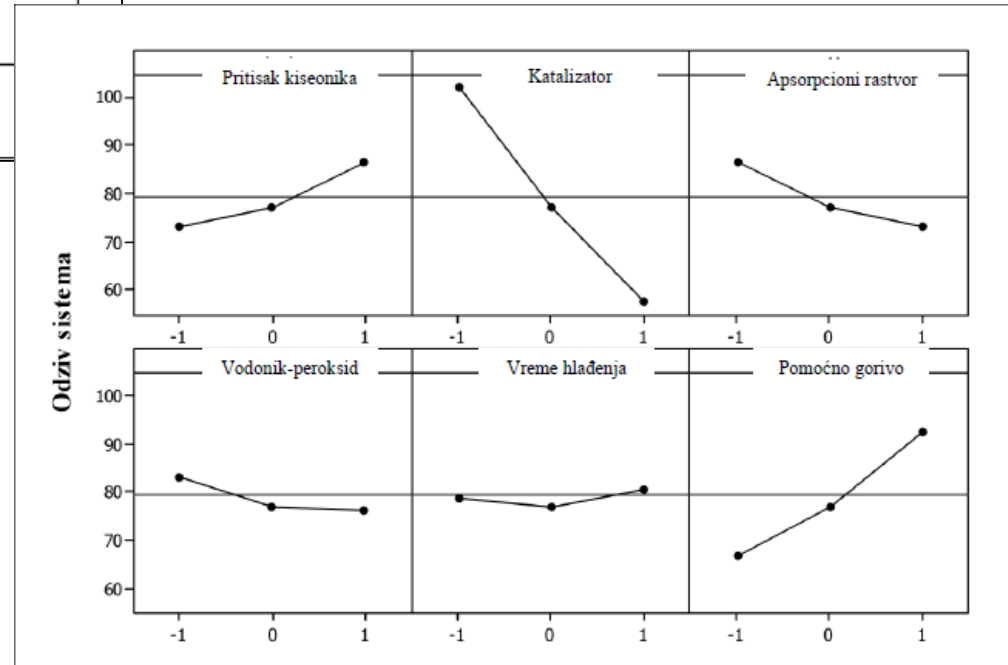
Pareto grafik  
Grafik glavnih efekata  
Grafik interakcije  
parametara  
ANOVA

# Određivanje fluora metodom sagorevanja u kiseoničnoj bombi-JSE

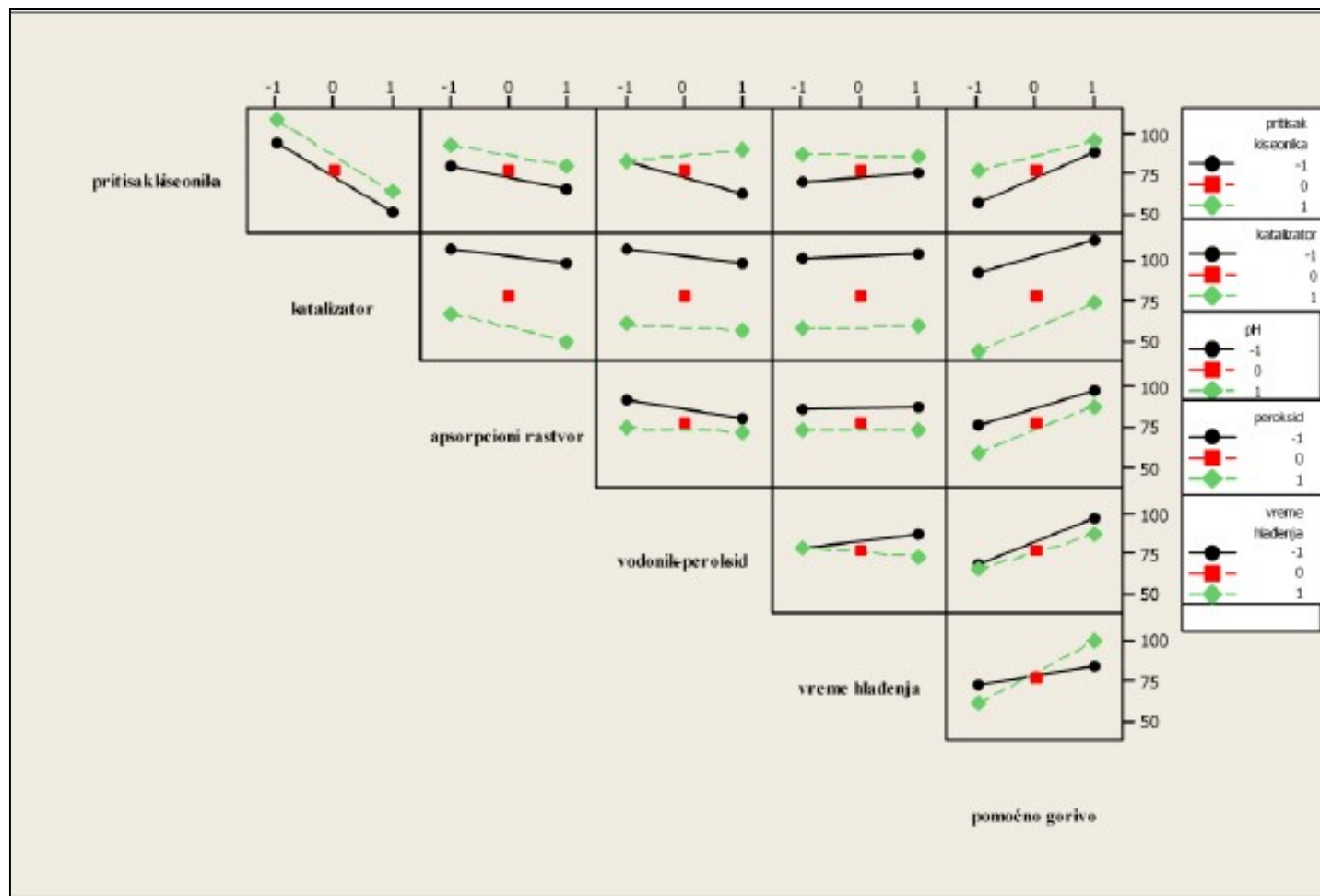


Grafik glavnih efekata određivanja fluora sagorevanjem uglja u kiseoničnoj bombi-JSE

Pareto-grafik određivanja fluora sagorevanjem uglja u kiseoničnoj bombi-JSE

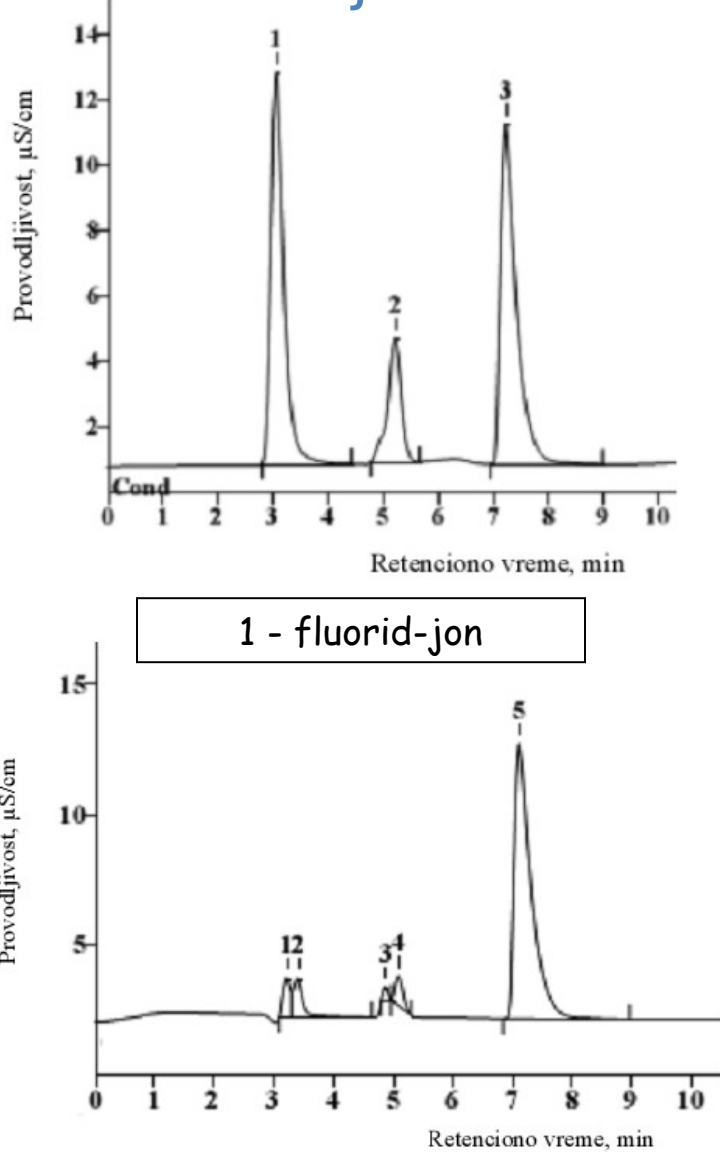


# Određivanje fluora metodom sagorevanja u kiseoničnoj bombi-JSE



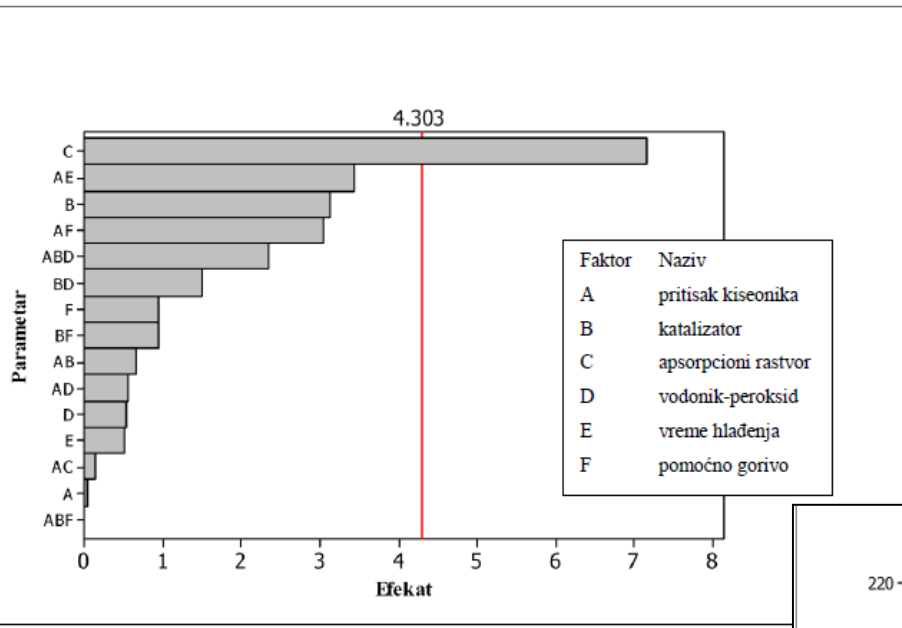
Dijagram interakcije parametara određivanja  
fluora sagorevanjem uglja u kiseoničnoj bombi-JSE

# Određivanje fluora metodom sagorevanja u kiseoničnoj bombi-IC



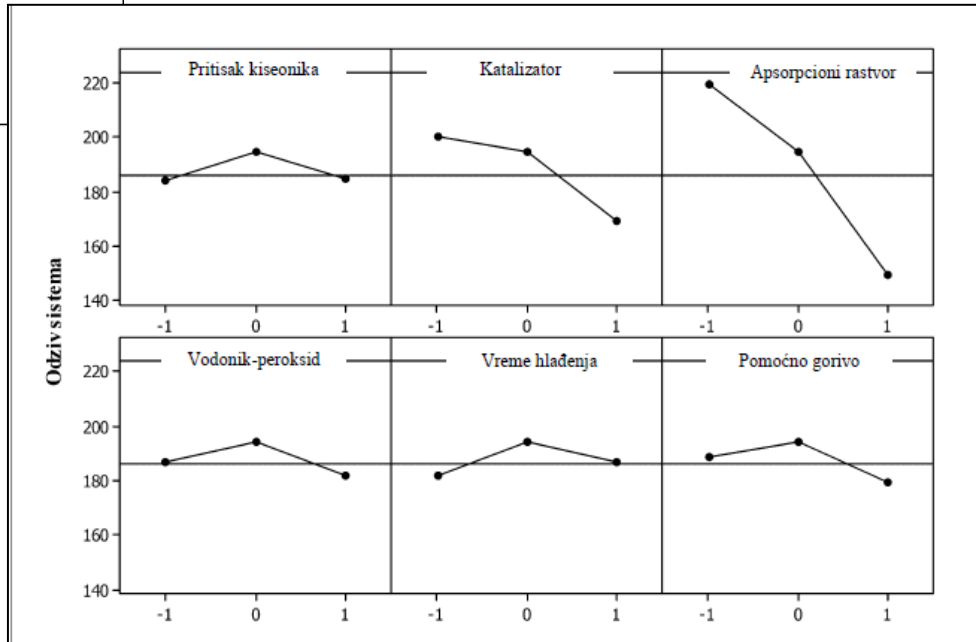
Eksp.	$\gamma(\text{F})$ , mg/kg	
	JSE	IC
1	123	84,3
2	94	123
3	58	111
4	102	82,1
5	34	81,6
6	40	89,7
7	50	85,8
8	75	136
9	86	119
10	59	146
11	105	163
12	69	153
13	103	94,0
14	78	110
15	37	139
16	109	125
17	81	114
18	83	107
19	121	114

# Određivanje hlora metodom sagorevanja u kiseoničnoj bombi-IC

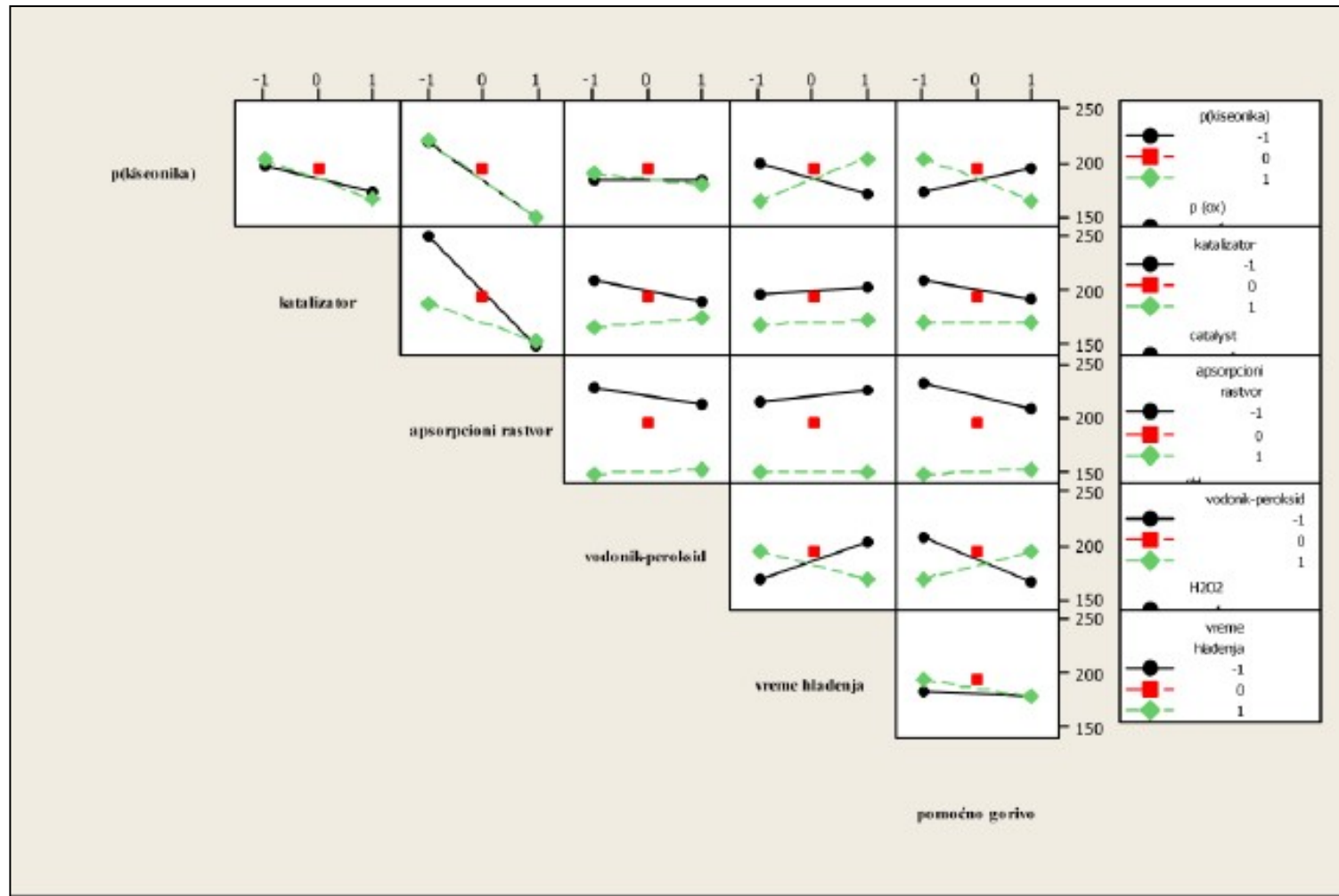


Pareto-grafik određivanja hlora  
sagorevanjem uglja u kiseoničnoj  
bombi-IC

Grafik glavnih efekata  
određivanja hlora sagorevanjem  
uglja u kiseoničnoj bombi-IC



# Određivanje hlora metodom sagorevanja u kiseoničnoj bombi-IC



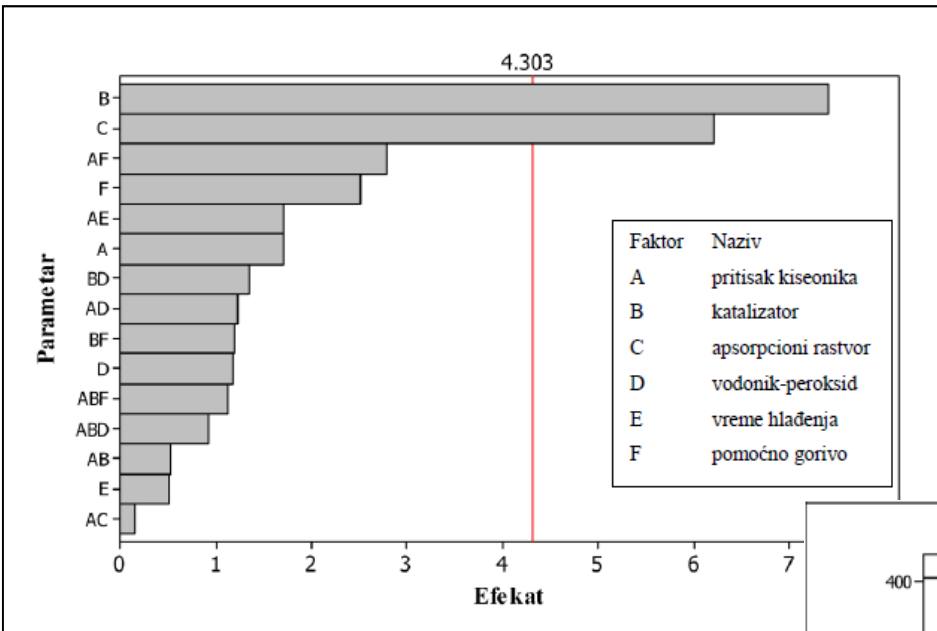
Dijagram interakcije parametara određivanja hlora  
sagorevanjem uglja u kiseoničnoj bombi-IC

# Određivanje ukupnih halogena u uglju metodom sagorevanja u kiseoničnoj bombi-IC

Rezultati dobijeni primenom frakcionisanog faktorijskog dizajna:

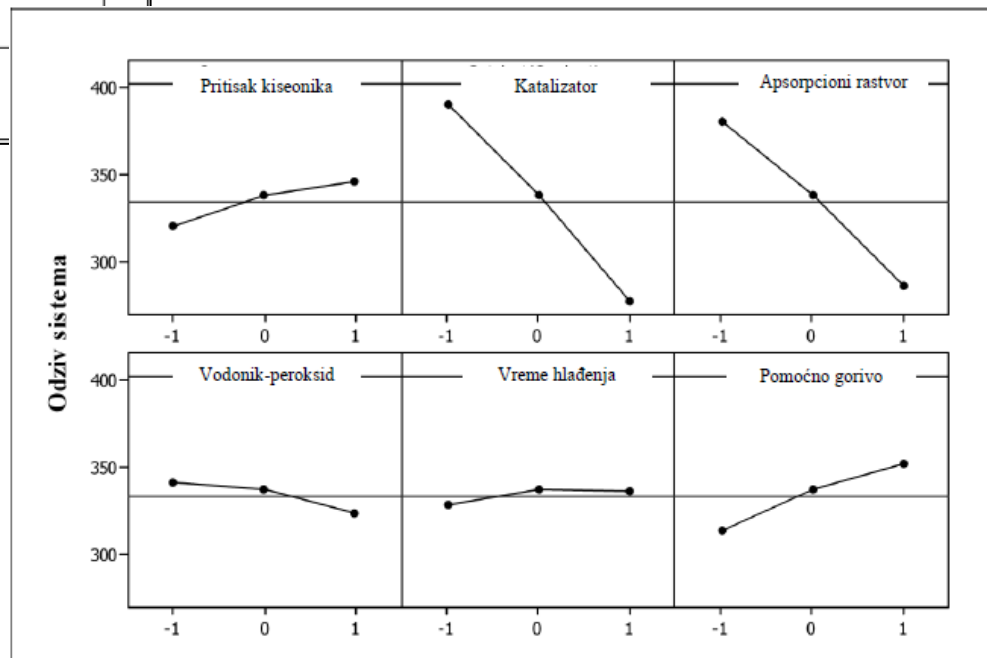
- ukazali su da prisustvo katalizatora i povećanje pH vrednosti apsorpcionog rastvora, na negativan način utiču na ekstrakciju halogenih elemenata iz uglja sagorevanjem u kiseoničnoj bombi.
- uočeno je da kada je ispitivana vrednost ostalih parametara postavljena na srednji nivo, koncentracija hlorid-jona u ispitivanom rastvoru je i najviša.
- izdvajanje fluora iz uglja pri sagorevanju u kiseoničnoj bombi raste sa povećanjem pritiska kiseonika i sa povećanjem količine dodatog pomoćnog goriva.
- kako bi se utvrdili optimalni uslovi koji bi omogućili istovremeno određivanje fluora i hlorova, analizirani su ukupni halogeni u uglju.

# Određivanje ukupnih halogena u uglju metodom sagorevanja u kiseoničnoj bombi-IC

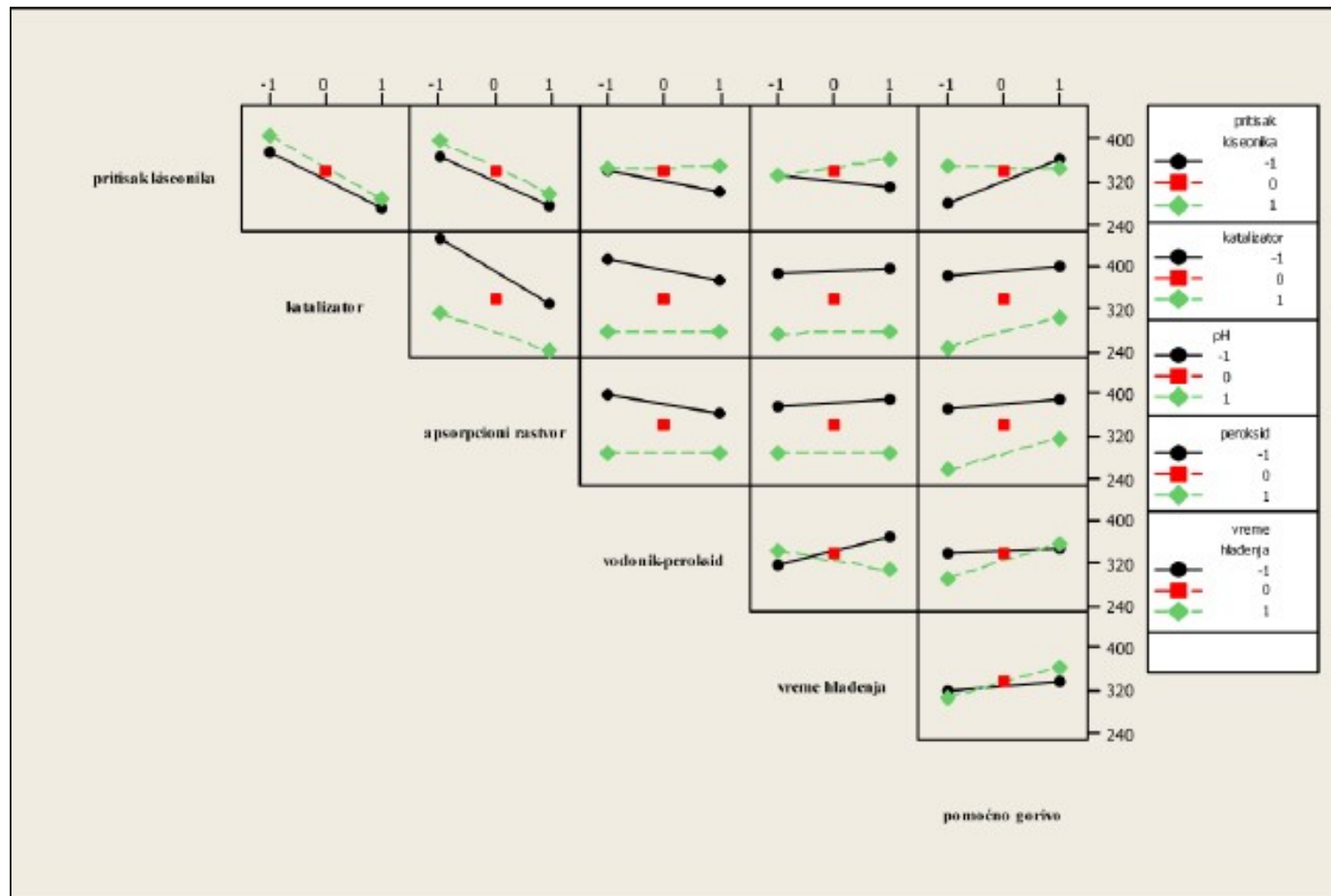


Pareto-grafik određivanja ukupnih halogena sagorevanjem uglja u kiseoničnoj bombi-IC

Grafik glavnih efekata  
određivanja ukupnih halogena  
sagorevanjem uglja u kiseoničnoj  
bombi-IC



# Određivanje ukupnih halogena u uglju metodom sagorevanja u kiseoničnoj bombi-IC

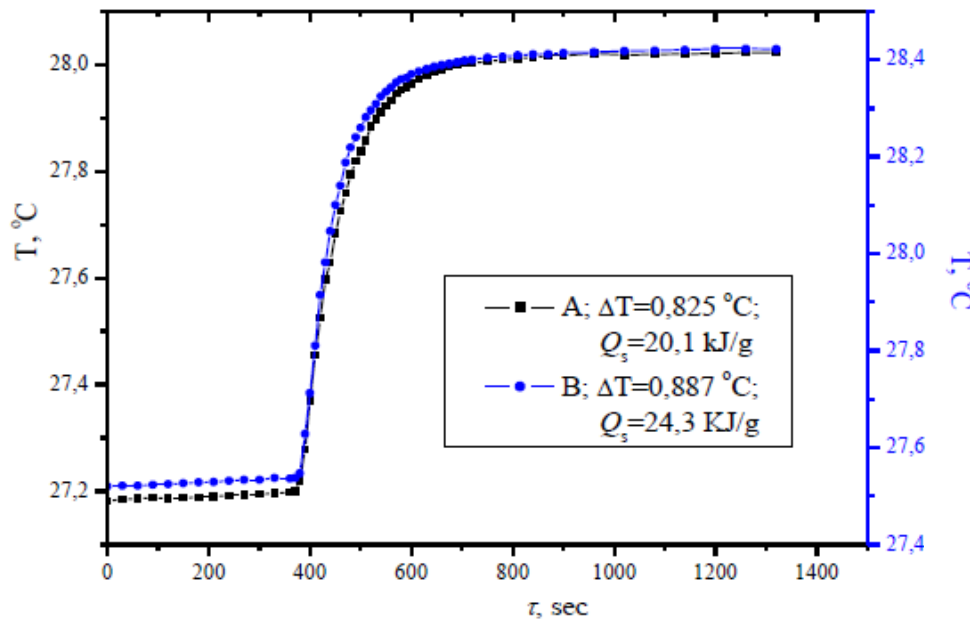


Dijagram interakcije parametara određivanja ukupnih halogena sagorevanjem uglja u kiseoničnoj bombi-IC

# Optimizacija i validacija analitičke metodologije za određivanje halogena u uglju

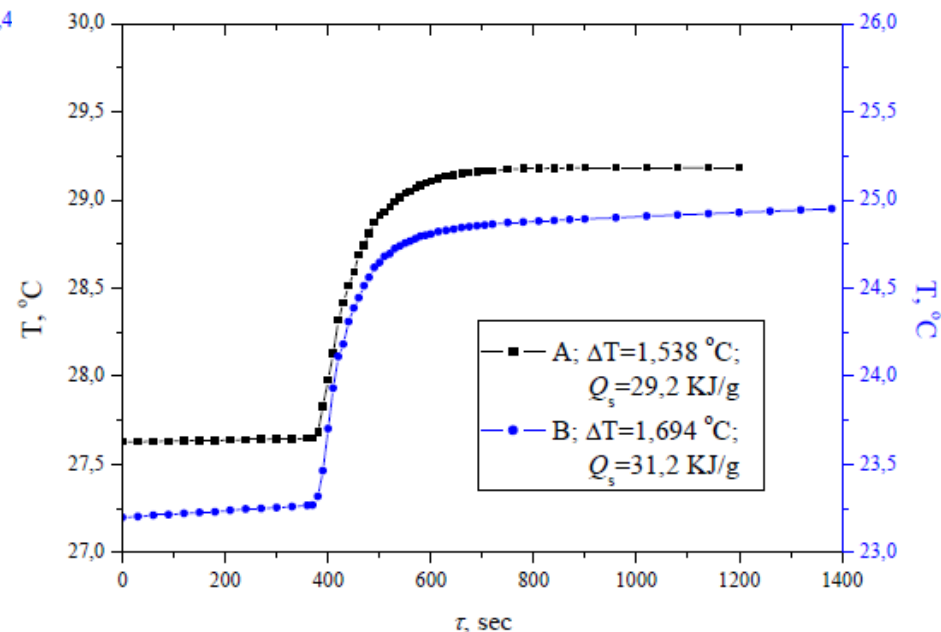
Faktor	Uticaj	Izabrana vrednost
Pritisak kiseonika	Povećava izdvajanje halogena	Dodatno ispitivanje
Katalizator	Smanjuje izdvajanje halogena	X
Apsorpcioni rastvor	Koncentracija halogenid-jona u apsorpcionom rastvoru se smanjuje sa povećanjem pH vrednosti	$\text{H}_2\text{O}$
Vodonik-peroksid	Povećanjem sadržaja iznad 0,5 % smanjuje se koncentracija halogenid-jona	$w = 0,5 \%$
Vreme hlađenja	Hlađene duže od 15 min nema uticaja	$t_{\text{hlađenja}} = 15 \text{ min}$
Pomoćno gorivo Ispitivana metoda nije pogodna za određivanje broma u uglju.	Povećava izdvajanje halogena	Dodatno ispitivanje

# Optimizacija i validacija analitičke metodologije za određivanje halogena u uglju



Promena temperature u kalorimetru sa vremenom za početni pritisak kiseonika u bombi:  
A) 1,5 MPa (eksperiment 2),  
B) 2,5 MPa (eksperiment 11)

Promena temperature u kalorimetru sa vremenom za početni pritisak kiseonika u bombi: A) 1,5 MPa (eksperiment 13),  
B) 2,5 MPa (eksperiment 4),  
i uz dodatak pomoćnog goriva



# Optimizacija i validacija analitičke metodologije za određivanje halogena u uglju

Metodologija odgovora površine  
(engl.-Response Surface Methodology, RSM)

$$y = \beta_0 + \sum_{i=1}^k \beta_i x_i + \sum_{1 \leq i \leq j} \beta_{ij} x_i x_j + \sum_{i=1}^k \beta_{ii} x_i^2 + \varepsilon$$

$\beta_0$  - konstanta;

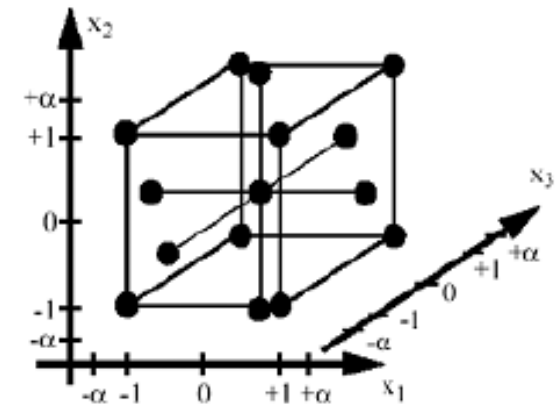
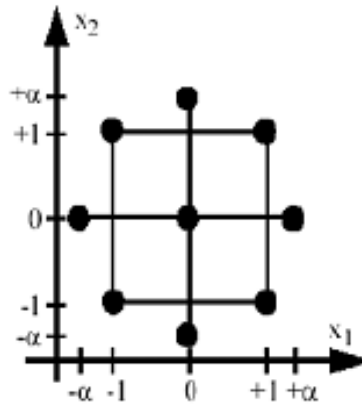
$\beta_i$  - linearni koeficijent;

$\beta_{ij}$  - koeficijent interakcija;

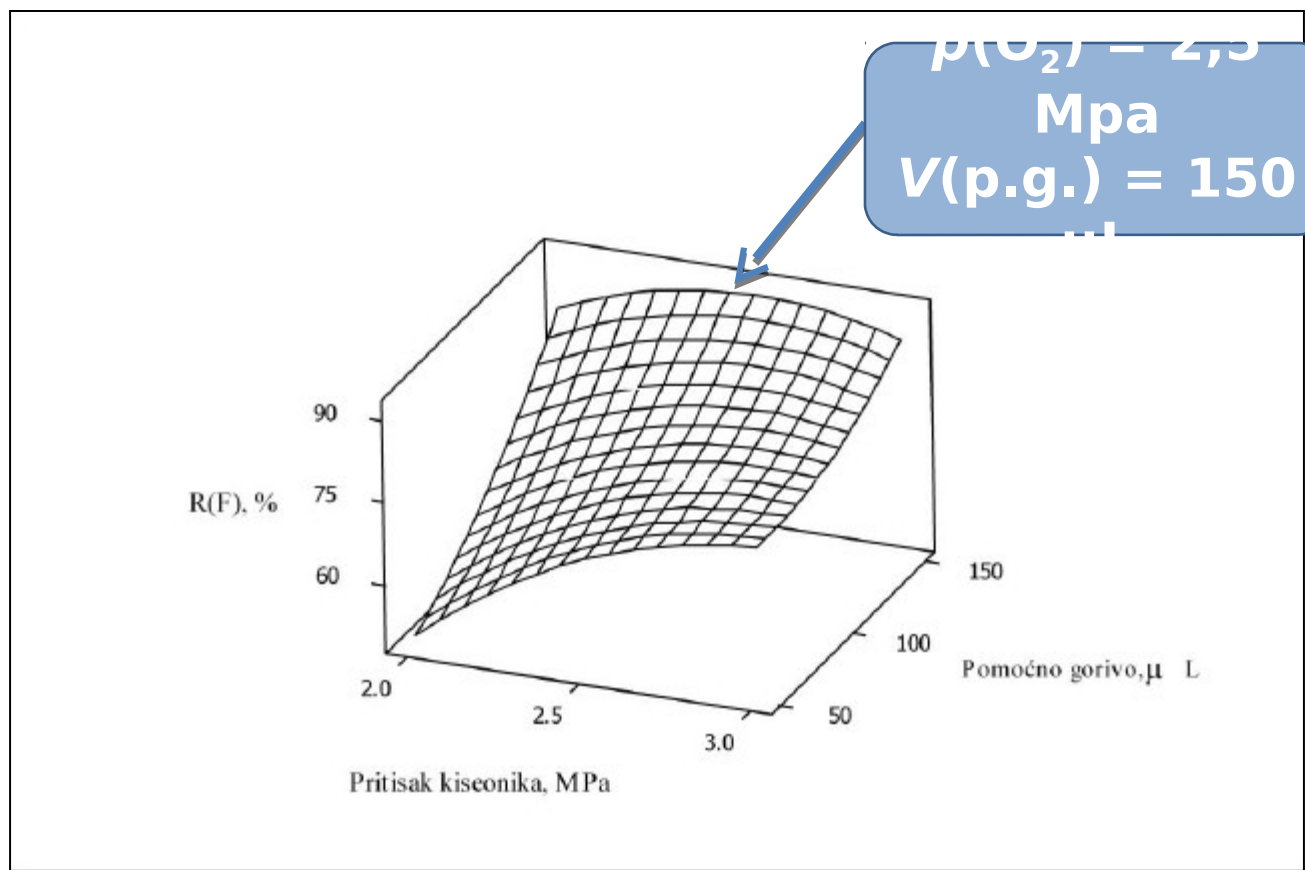
$\beta_{ii}$  - koeficijenti kvadratnog parametra.

$\varepsilon$  - rezidual koji se pripisuje eksperimentalnim rezultatima

Centralni kompozitni dizajn  
(engl.- Central composite design, CCD)

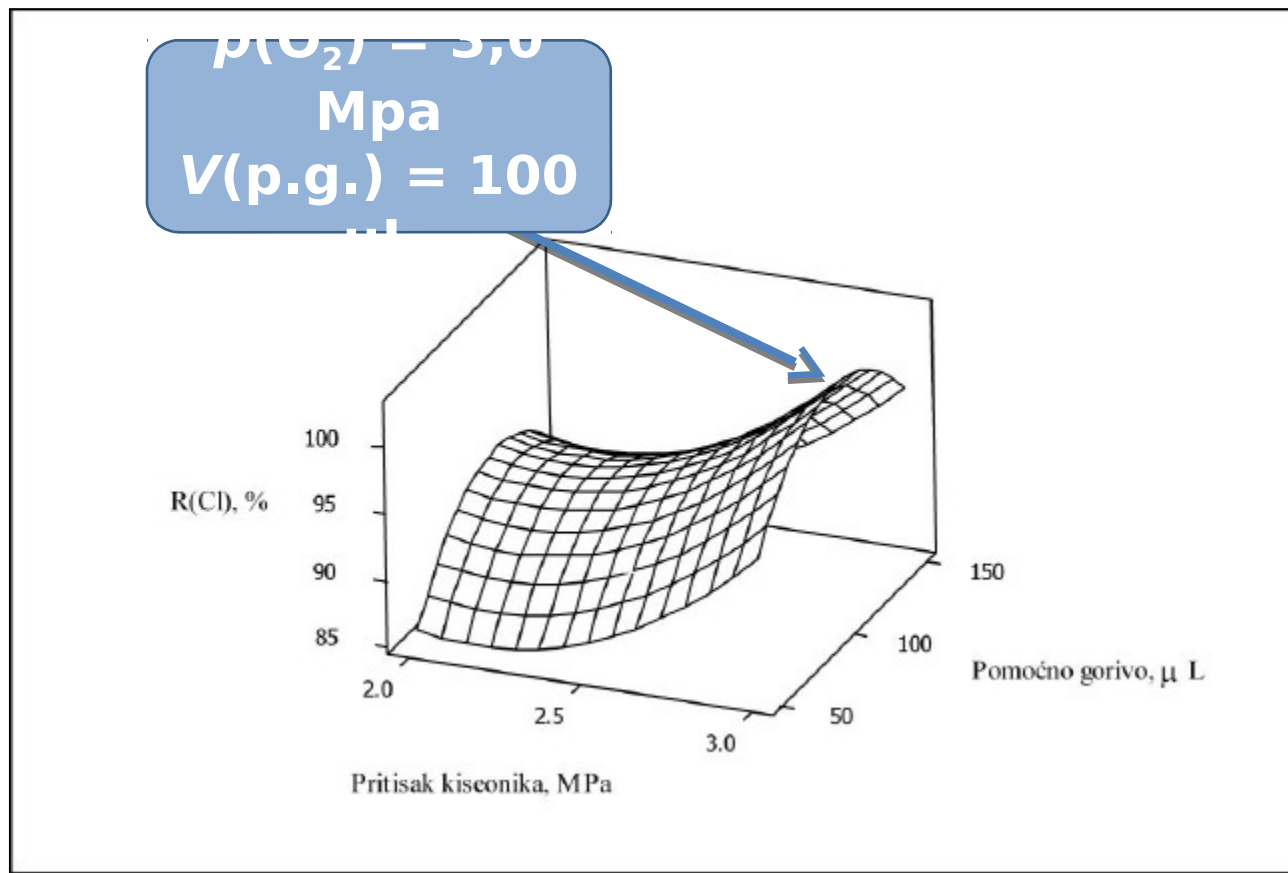


# Optimizacija određivanja fluora i hlorova u uglju metodom sagorevanja u kiseoničnoj bombi



Procenat izdvojenog fluora u zavisnosti  
od pritiska kiseonika i pomoćnog goriva

# Optimizacija određivanja fluora i hlorova u uglju metodom sagorevanja u kiseoničnoj bombi



Procenat izdvojenog hlorova u zavisnosti od  
pritiska kiseonika i pomoćnog goriva

Procenjeni regresioni koeficijenti za dizajn odgovora površine određivanja:

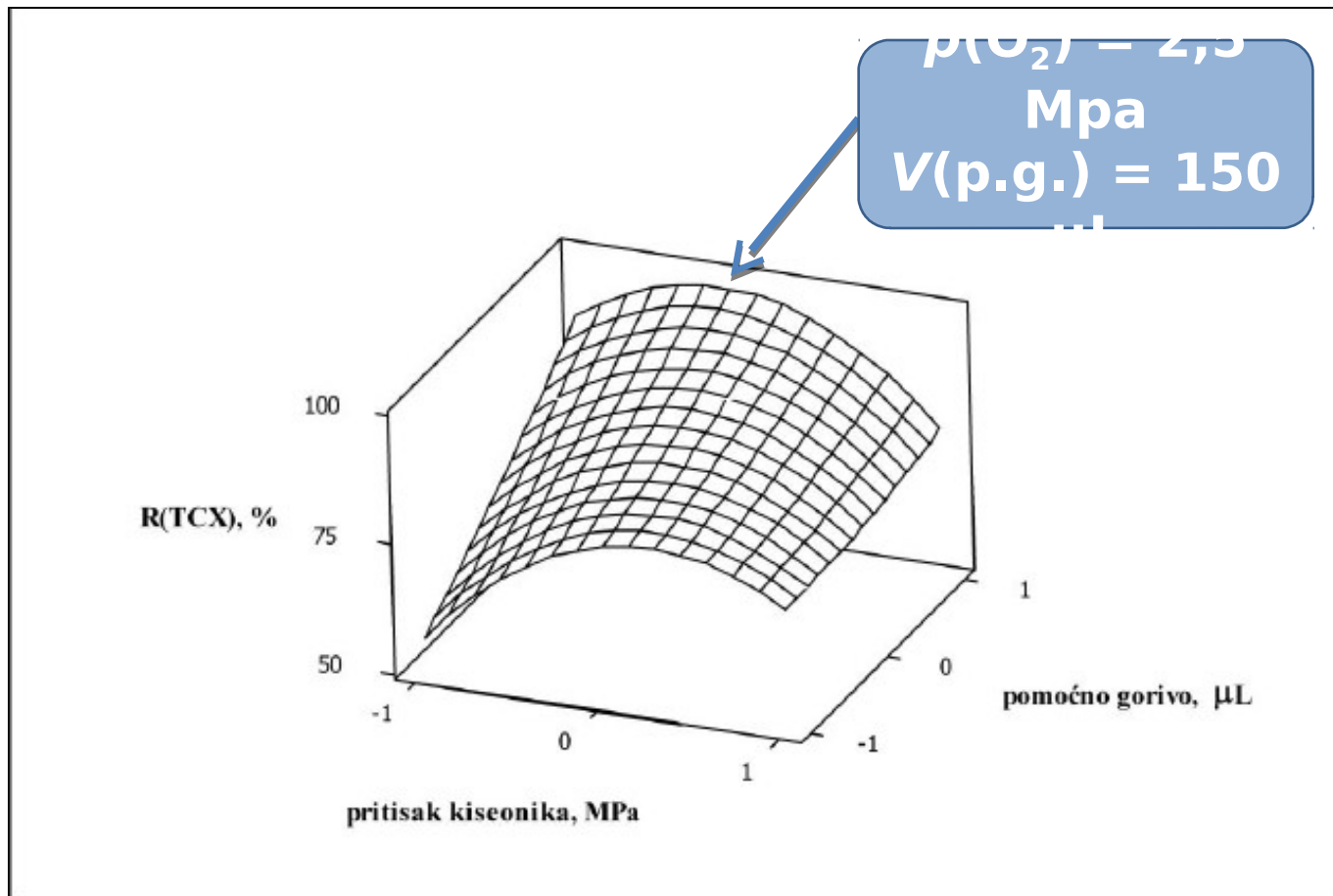
a) fluora sagorevanjem u kiseoničnoj bombi/IC

Član	Koeficijent	Standardna greška koeficijenta, %	p-vrednost
<b>Konstanta</b>	<b>76,195</b>	<b>3,119</b>	<b>0,000</b>
<b>Pritisak kiseonika</b>	<b>7,553</b>	<b>3,066</b>	<b>0,043</b>
<b>Pomoćno gorivo</b>	<b>11,138</b>	<b>3,066</b>	<b>0,008</b>
<b>Pritisak kiseonika*Pritisak kiseonika</b>	<b>-5,966</b>	<b>4,519</b>	<b>0,228</b>
<b>Pomoćno gorivo*Pomoćno gorivo</b>	<b>3,661</b>	<b>4,519</b>	<b>0,445</b>
<b>Pritisak kiseonika*Pomoćno gorivo</b>	<b>-5,372</b>	<b>3,755</b>	<b>0,196</b>

b) hloru sagorevanjem u kiseoničnoj bombi/IC

Član	Koeficijent	Standardna greška koeficijenta, %	p-vrednost
<b>Konstanta</b>	<b>94,260</b>	<b>1,508</b>	<b>0,000</b>
<b>Pritisak kiseonika</b>	<b>4,482</b>	<b>1,483</b>	<b>0,019</b>
<b>Pomoćno gorivo</b>	<b>1,154</b>	<b>1,483</b>	<b>0,462</b>
<b>Pritisak kiseonika* Pritisak kiseonika</b>	<b>3,663</b>	<b>2,185</b>	<b>0,138</b>
<b>Pomoćno gorivo*Pomoćno gorivo</b>	<b>-6,113</b>	<b>2,185</b>	<b>0,027</b>
<b>Pritisak kiseonika*Pomoćno gorivo</b>	<b>-0,220</b>	<b>1,816</b>	<b>0,907</b>

# Optimizacija određivanja ukupnih halogena u uglju metodom sagorevanja u kiseoničnoj bombi



Procenat izdvojenih ukupnih halogena u  
zavisnosti od pritiska kiseonika i  
pomoćnog goriva

# Optimizacija određivanja ukupnih halogena u uglju metodom sagorevanja u kiseoničnoj bombi

Procenjeni regresioni koeficijenti za dizajn odgovora površine određivanja ukupnih halogena u uglju sagorevanjem u kiseoničnoj bombi-IC

Član	Koeficijent	Standardna greška koeficijenta, %	p-vrednost
<b>Konstanta</b>	<b>87,231</b>	<b>1,50</b>	<b>0,000</b>
<b>Pritisak kiseonika</b>	<b>1,433</b>	<b>1,494</b>	<b>0,369</b>
<b>Pomoćno gorivo</b>	<b>9,433</b>	<b>1,494</b>	<b>0,000</b>
<b>Pritisak kiseonika*Pritisak kiseonika</b>	<b>-14,859</b>	<b>2,202</b>	<b>0,000</b>
<b>Pomoćno gorivo*Pomoćno gorivo</b>	<b>1,341</b>	<b>2,202</b>	<b>0,562</b>
<b>Pritisak kiseonika*Pomoćno gorivo</b>	<b>-6,775</b>	<b>1,830</b>	<b>0,008</b>



**Experimental design optimization of determination of total halogens in coal by combustion-ion chromatography**



# Validacija određivanja halogena metodom sagorevanja u kiseoničnoj bombi

Vrednosti parametara predložene metode

Parametar	Vrednost
Pritisak kiseonika (MPa)	2,5
$m(V_2O_5)/m(\text{uglja})$	0
Apsorpcioni rastvor	$H_2O$
Vodonik-peroksid (%)	0,5
Vreme hlađenja (min)	15
Pomoćno gorivo ( $\mu\text{L}$ )	150

- Interni referentni ugljevi označeni kao EPS1 i EPS2
- sertifikovani referentni ugljevi BCR 460 i NIST 1632c

Tačnost:  $E_r$ , %

Preciznost (reproducivnost):  
 $SD$ , mg/kg i  $RSD$ , %

$R$ , % (recovery)

# Validacija određivanja halogena metodom sagorevanja u kiseoničnoj bombi

Rezultati određivanja, standardna devijacija, relativna standardna devijacija, relativna greška i pojavljivost određivanja fluora sagorevanjem uglja u kiseoničnoj bombi

Uzorak	$\gamma(F^-)$ , mg/kg		SD, mg/kg	RSD, %	$E_r$ , %	$R$ , %
	Referen tna	Izmere na				
EPS1	167	$163 \pm 9,14$	7,40	4,52	2,40	97,6
EPS2	150	$143 \pm 4,20$	3,40	2,34	4,70	95,3
BCR460	$225 \pm 18$	$246 \pm 14,5$	11,7	4,75	9,33	109
NIST163 2c	$72,7 \pm 6$	$71 \pm 1,75$	1,41	2,00	2,34	98

# Validacija određivanja halogena metodom sagorevanja u kiseoničnoj bombi

Rezultati određivanja, standardna devijacija, relativna standardna devijacija, relativna greška i pojavljivost određivanja fluora sagorevanjem uglja u kiseoničnoj bombi

Uzorak	$\gamma(\text{Cl}^-)$ , mg/kg		SD, mg/kg	RSD, %	$E_r$ , %	R, %
	Referen tna	Izmeren a				
EPS1	145	$139 \pm 6,50$	7,60	5,44	4,14	95,9
EPS2	66	$68 \pm 3,50$	2,83	4,20	3,03	103
BCR460	$59 \pm 18$	$64 \pm 4,20$	3,40	5,23	8,50	108
NIST163 2c	$1139 \pm 41$	$927 \pm 12,12$	9,76	1,05	18,61	81,4

Rezultati određivanja metodom standardnog dodatka, relativna standardna devijacija, relativna greška i pojavljivost fluora i hlora metodom sagorevanja u kiseoničnoj bombi-IC

Uzorak	Očekivana	Izmerena	RSD, %	$E_r$ , %	R, %
$\gamma(F^-)$ , mg/kg					
EPS1 S1	250	<b><math>246 \pm 16,26</math></b>	5,32	1,60	98,4
EPS1 S2	334	<b><math>339 \pm 4,90</math></b>	1,16	1,50	102
EPS2 S1	225	<b><math>241 \pm 5,90</math></b>	1,96	7,11	107
EPS2 S2	300	<b><math>296 \pm 3,17</math></b>	0,86	1,30	98,7
$\gamma(Cl^-)$ , mg/kg					
EPS1 S1	220	<b><math>214 \pm 6,50</math></b>	2,44	2,73	97,3
EPS1 S2	290	<b><math>261 \pm 18,5</math></b>	5,70	10,0	90,0
EPS2 S1	100	<b><math>94 \pm 4,02</math></b>	3,45	6,00	94,0
EPS2 S2	132	<b><math>137 \pm 10,7</math></b>	6,30	3,80	104

# Rezultati određivanja, relativna standardna devijacija, relativna greška i pojavljivost ukupnih halogena u uglju metodom sagorevanja u kiseoničnoj bombi-IC

Uzorak	$\gamma(\text{TCX}), \text{ mg/kg}$		$RSD, \%$	$E_r, \%$	$R, \%$
	Očekivana	Izmerena			
<b>EPS1</b>	<b>457</b>	<b><math>443 \pm 10,5</math></b>	<b>1,90</b>	<b>3,06</b>	<b>97</b>
<b>EPS1 S1</b>	<b>670</b>	<b><math>673 \pm 25,6</math></b>	<b>3,10</b>	<b>0,45</b>	<b>104</b>
<b>EPS1 S2</b>	<b>934</b>	<b><math>893 \pm 24,0</math></b>	<b>2,16</b>	<b>4,40</b>	<b>96</b>
<b>EPS2</b>	<b>346</b>	<b><math>334 \pm 5,80</math></b>	<b>1,40</b>	<b>3,50</b>	<b>97</b>
<b>EPS2 S1</b>	<b>529</b>	<b><math>544 \pm 12,3</math></b>	<b>1,82</b>	<b>2,84</b>	<b>103</b>
<b>EPS2 S2</b>	<b>711</b>	<b><math>689 \pm 14,8</math></b>	<b>1,73</b>	<b>3,09</b>	<b>97</b>

Određivanje ukupnih halogena u uzorcima sertifikovanih ugljeva

Uzorak	TCX (mg/kg)		$RSD, \%$	$E_r, \%$	$R, \%$
	Očekiva na	Izmeren a			
<b>BCR 460</b>	<b><math>479 \pm 19,7</math></b>	<b><math>523 \pm 24,9</math></b>	<b>3,83</b>	<b>9,20</b>	<b>109</b>
<b>NIST 1632c</b>	<b><math>1283 \pm 41,6</math></b>	<b><math>1138 \pm 24,7</math></b>	<b>1,74</b>	<b>11,30</b>	<b>87</b>

# Validacija određivanja sumpora metodom sagorevanja u kiseoničnoj bombi

Ponovljivost, relativna standardna devijacija i pojavljivost određivanja sumpora u uglju metodom sagorevanja u kiseoničnoj bombi

Uzorak	$w(S)$ , %		$RSD$ , %	$E_r$ , %	$R$ , %
	Očekivana	Izmerena			
EPS1	0,72	$0,765 \pm 0,0483$	5,63	6,25	106
EPS2	1,95	$2,04 \pm 0,0610$	3,00	4,61	105
BCR 460	/	$0,765 \pm 0,0118$	1,60	/	/
NIST 1632c	$1,462 \pm 0,05$ 1	$1,563 \pm 0,0500$	2,64	6,90	107

# Procena granice detekcije i granice kvantifikacije određivanja halogena i sumpora metodom sagorevanja u kiseoničnoj bombi

Na osnovu standardne devijacije određivanja jonskom hromatografijom i nagiba kalibracione krive izračunate su:

granice detekcije (engl.-limit of detection, LOD)

granice kvantifikacije (engl.-limit of quantificatin, LOQ)

Granice detekcije i granice kvantifikacije za određivanje halogena i sumpora metodom sagorevanja u kiseoničnoj bombi-IC

Jon	IC (mg/dm <sup>3</sup> )		Element	Sagorevanje u kiseoničnoj bombi (mg/kg)	
	LOD	LOQ		LOD	LOQ
Fluorid-jon	0,0040	0,0126	Fluor	0,40	1,26
Hlorid-jon	0,0084	0,0279	Hlor	0,84	2,79
Bromid-jon	0,0320	0,1068	Brom	3,20	10,68
Sulfat-jon	0,0065	0,0216	Sumpor	0,22	0,72



# Određivanje fluora i hlora u uzorcima uglja sa kopova Kolubare i Kostolca

Rezultati određivanja sadržaja fluora, hlora i sumpora u uzorcima uglja iz Kolubarskog i Kostolačkog basena

Koluba ra	$\gamma(F)$ , mg/kg	$\gamma(Cl)$ , mg/kg	$w(S)$ , %	Kostola c	$\gamma(F)$ , mg/kg	$\gamma(Cl)$ , mg/kg	$w(S)$ , %
1	219	203	0,67	1	98,0	61,6	1,30
2	259	112	1,58	2	105	145	0,98
3	234	82,5	1,01	3	316	105	1,48
4	64,7	145	0,92	4	85,0	21,5	1,90
5	157	54,5	1,12	5	101	27,1	2,10
6	72,0	186	0,78	6	247	40,7	1,71
7	120	234	0,86	7	153	21,0	1,85
8	235	147	0,82	8	193	102	1,71
9	46,3	272	0,75	9	67,5	104	2,10
10	464	245	1,44	10	80,0	20,8	1,84

## Doprinos istraživanja

- razrada i utvrđivanje metoda i postupaka primenom statističkog pristupa u cilju određivanje anjona sa većom osetljivošću
- Predložena metoda za analizu sadržaja halogena u uglju, validirana je sa aspekta tačnosti i ponovljivosti rezultata
- Određene su granice detekcije i granice kvantifikacije
- Osim za analizu halogenih elemenata, predložena metoda se može uspešno primeniti i za određivanje ukupnog sadržaja sumpora u uglju.

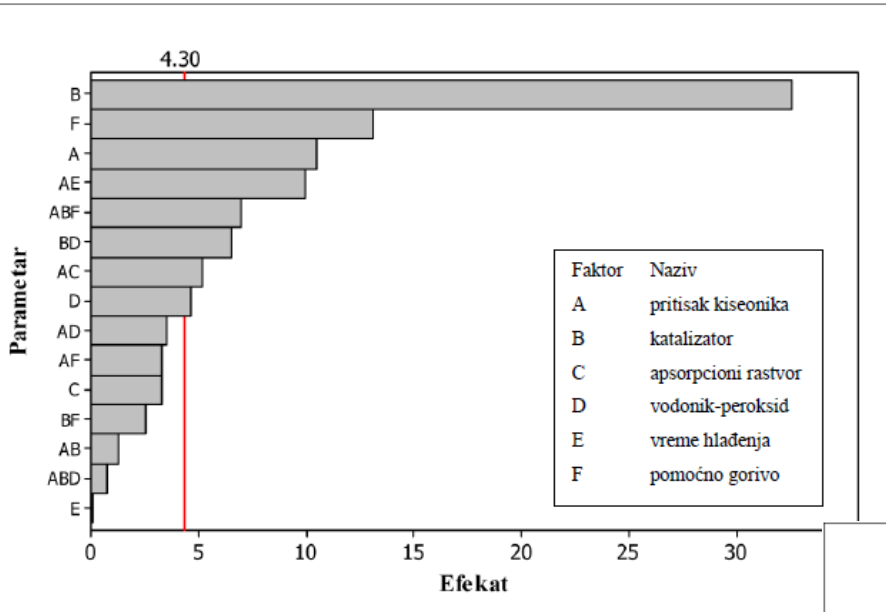
## ZAKLJUČAK

- Primenjena je metoda sagorevanja uglja u kiseoničnoj bombi za izdvajanje halogena iz kompleksne čvrste matrice uglja, a koncentracija jona merena potenciometrijski jon-selektivnom elektrodom (za fluorid-jon) i jonskom hromatografijom.
- Eksperimentalna istraživanja i analiza rezultata su izvršeni primenom statističkog pristupa, koristeći dizajn eksperimenata (FFD, RSM).
- Definisanjem grupnog parametra – ukupni halogeni u uglju, omogućeno je određivanje optimalnih uslova za analizu halogena u uglju sagorevanjem u atmosferi kiseonika.
- Sagledavanje značaja i uticaja halogena na životnu sredinu, kao posledica upotrebe uglja u industriji.

# HVALA NA PAŽNJI

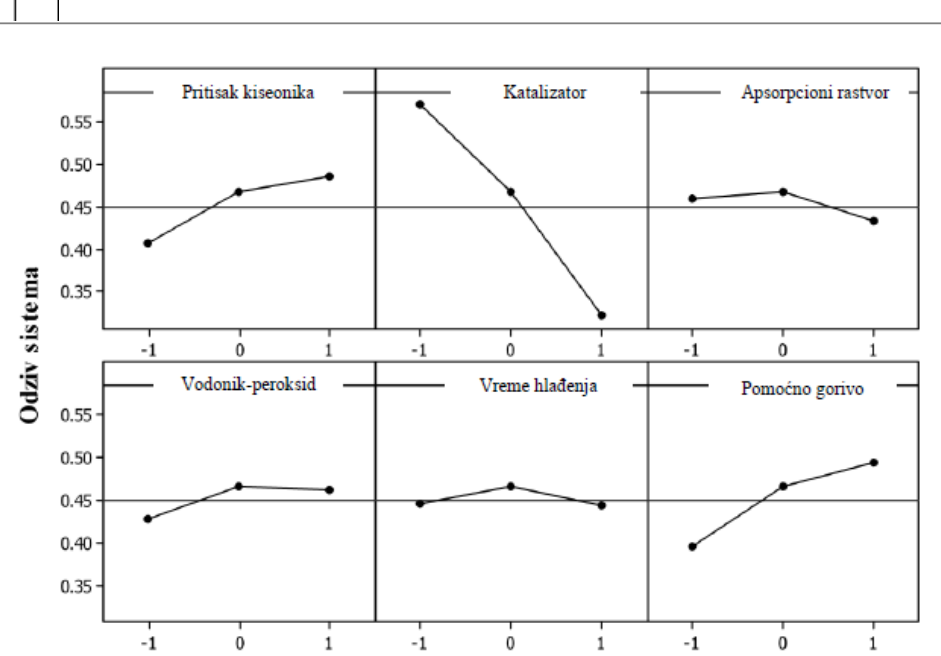


# Određivanje sumpora u uglju metodom sagorevanja u kiseoničnoj bombi-IC

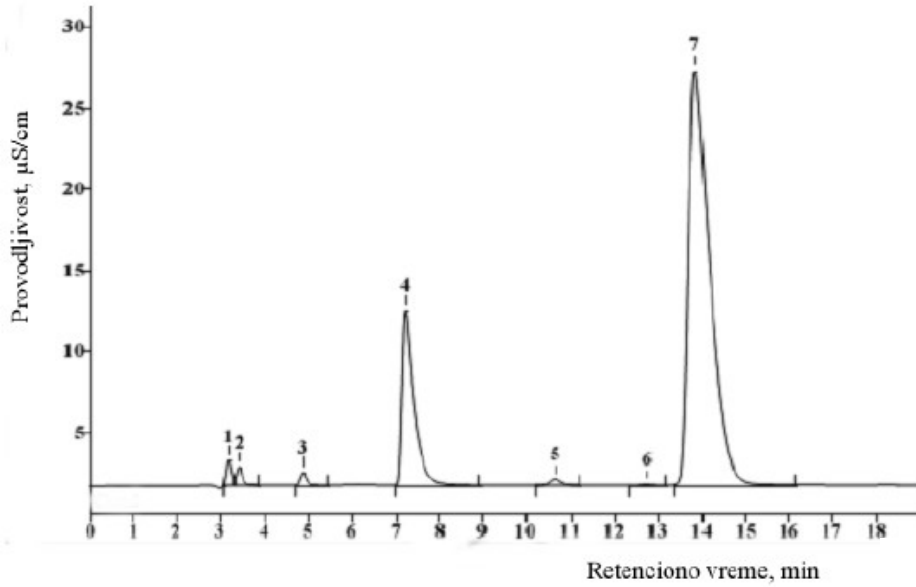


Grafik glavnih efekata određivanja ukupnih halogena sagorevanjem uglja u kiseoničnoj bombi-IC

Pareto-grafik određivanja sumpora sagorevanjem uglja u kiseoničnoj bombi-IC

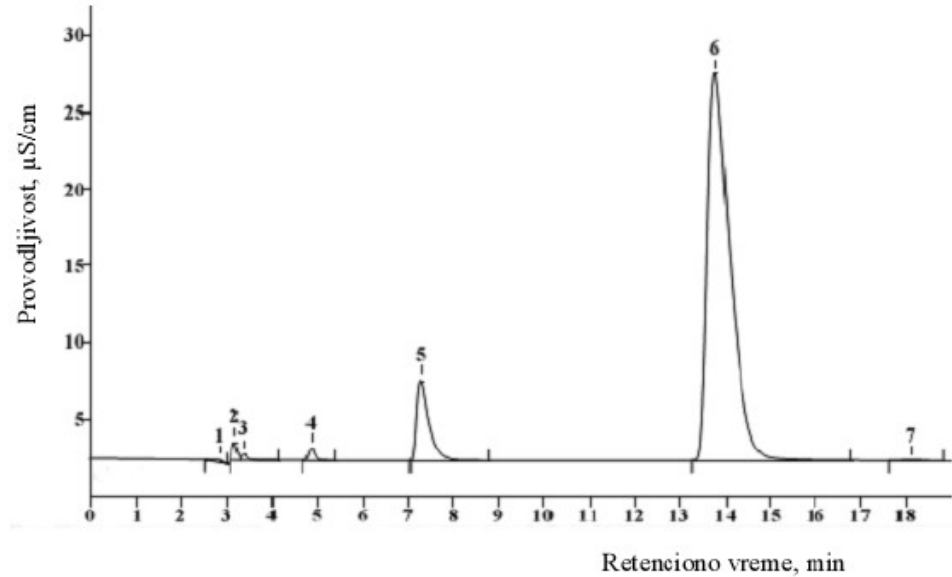


# Određivanje sumpora u uglju metodom sagorevanja u kiseoničnoj bombi-IC

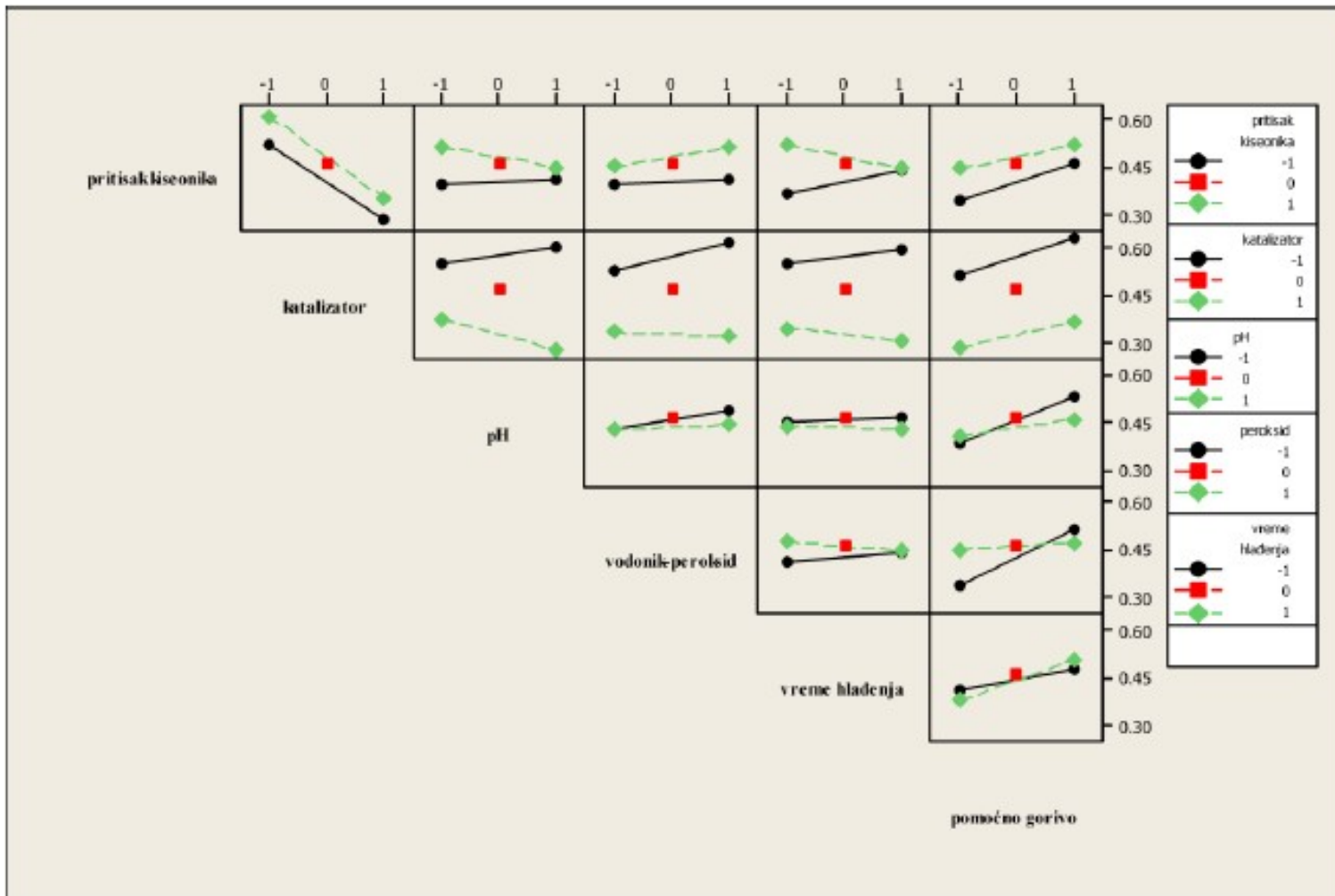


5 - sulfit-jon  
7 – sulfat-jon

6 - sulfat-jon

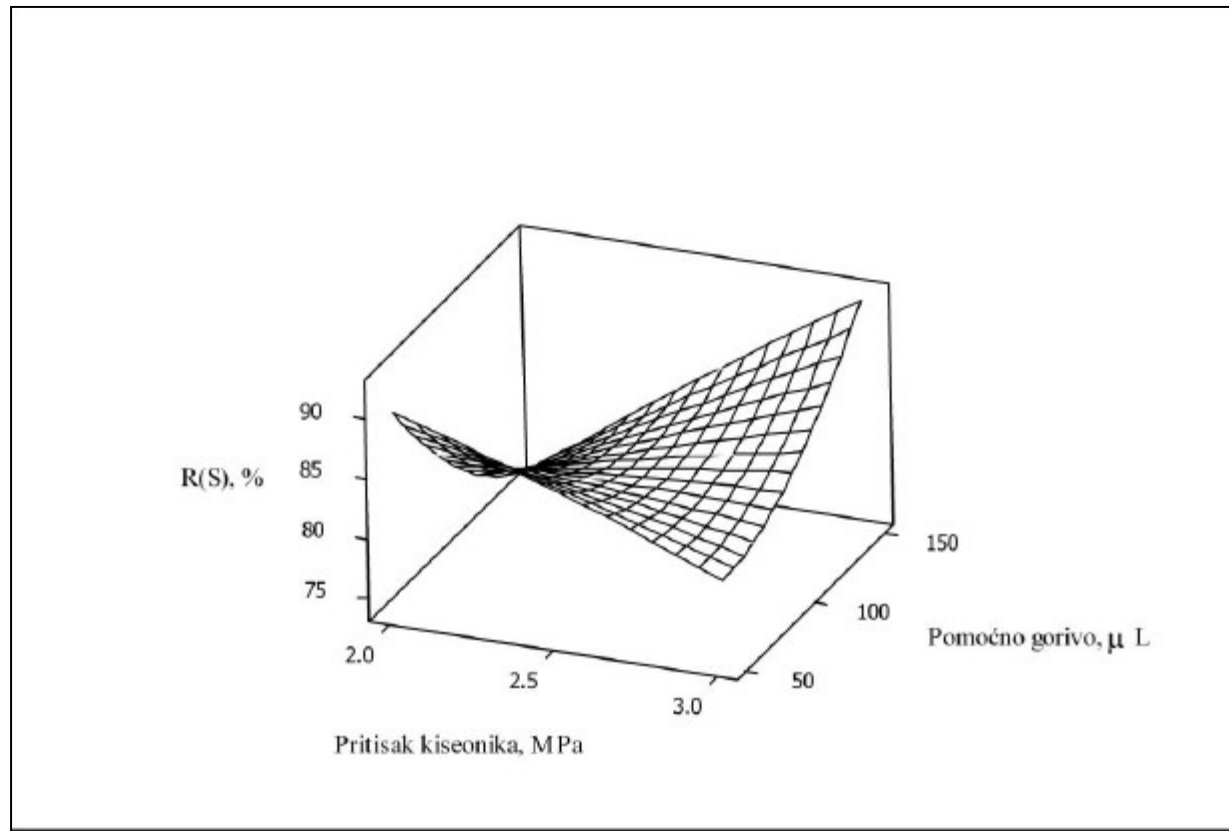


# Određivanje sumpora u uglju metodom sagorevanja u kiseoničnoj bombi-IC



# Dijagram interakcije parametara određivanja sumpora sagorevanjem uglja u kiseoničnoj bombi-IC

# Optimizacija određivanja sumpora metodom sagorevanja u kiseoničnoj bombi



Procenat izdvojenog sumpora u  
zavisnosti od pritiska kiseonika i  
pomoćnog goriva